

## نانوذرات اکسیدقلع: سنتز سبز، شناسایی و کاربرد آن در درمان سرطان

### چکیده

در این مطالعه برای تولید زیستی نانوذرات اکسیدقلع به روش هم‌رسوبی از عصاره گیاه دارویی هلپه به‌عنوان عامل کاهنده و پایدارکننده نانوذرات استفاده گردید. نانوذرات تشکیل‌شده به روش آنالیزی پراش اشعه ایکس (XRD) برای تعیین ساختار نانوذرات و همچنین اندازه متوسط نانوذرات استفاده شد. روش آنالیزی میکروسکوپ الکترون روبشی (SEM) جهت مشاهده ریخت‌شناسی نانوذرات و همچنین اندازه ذرات سنتز شده استفاده گردیده است. روش آنالیزی طیف‌سنجی مادون‌قرمز (FTIR) برای تعیین گروه‌های عاملی استفاده شد. منبع نور UVC به‌عنوان چشمه برای تحریک نانوذرات SnO<sub>2</sub> استفاده گردید. این نانوذرات در فوتودینامیک‌تراپی بررسی شد و نتایج نشان داده شد که: گونه‌های فعال اکسیژن ROS توسط شناساگرهای آنتراسن و متیلن‌بلو آشکارسازی شدند؛ و می‌توان نانوذرات را به‌عنوان ماده حساس به نور در درمان سرطان به روش فوتودینامیک‌تراپی معرفی کرد.

مرآت کریمی<sup>۱</sup>

احسان صادقی<sup>۱،۲\*</sup>

مصطفی زاهدی‌فر<sup>۱،۲</sup>

۱ پژوهشکده علوم فناوری نانو دانشگاه  
کاشان، کاشان

۲ دانشکده فیزیک دانشگاه کاشان، کاشان

نویسنده مسئول: احسان صادقی

پست الکترونیک:

[sdgh@kashanu.ac.ir](mailto:sdgh@kashanu.ac.ir)

واژه‌های کلیدی: گیاه دارویی هلپه، گونه‌های فعال اکسیژن، آنتراسن، متیلن‌بلو

## ۱. مقدمه

گیاهان هم به‌عنوان عامل کاهنده و هم عامل پوششی در سنتز نانوذرات استفاده کرد (۱۴).

در سال‌های اخیر مطالعات زیادی بر روی کاربرد نانوذرات مختلف در زمینه فوتودینامیک‌تراپی انجام گرفته است توکلی و همکارانش نانوذرات LaF3 برای اولین بار سنتز و در درمان سرطان به روش فوتودینامیک‌تراپی استفاده کرده و گونه‌های فعال اکسیژن را برای درمان سرطان آشکارسازی کردند (۱۵). کانگ و همکارانش نانومیله‌های اکسید روی کامپوزیت‌شده با نانوذرات طلا را برای درمان سرطان استفاده کرده و اثربخشی آن را بر روی سلول‌های سرطانی Hela مورد بررسی قرار دادند و در مدت زمان چند دقیقه بیشترین اثربخشی نانوذرات را بر روی سلول‌ها دیدند (۱۶). لیانگ سونگ و همکارانش نانوذرات ZnGa2O4:Cr برای درمان سرطان به روش فوتودینامیک‌تراپی استفاده کردند این نانوذرات دارای لومینسانس قوی می‌باشد ویژگی بارز نانوذرات این است که بعد از قطع منبع خاصیت نورانی خود را حفظ کنند و به همین دلیل این نانوذرات برای درمان سرطان‌های عمیق استفاده می‌شود (۱۷). صادقی و همکارانش نانوذرات اکسید روی با ناخالصی نقره متصل شده به داروی پروتوپورفیرین را ساخته و در درمان بیماری سرطان به روش فوتودینامیک‌تراپی استفاده کردند. با استفاده از نانوذرات گونه‌های فعال اکسیژن را آشکارسازی کردند (۱۸).

ساخت نانوذرات در شکل و اندازه مختلف با توجه به اینکه تعداد اتم‌های سطح به اتم‌های حجمی افزایش پیدا می‌کند از لحاظ بیولوژیکی و شیمیایی فعال‌تر و باعث عامل ضد میکروبی می‌شود. نانوذرات می‌توانند از روش‌های مختلفی به باکتری‌ها هجوم و باعث و اختلال در آنها شوند. نانوذرات از طریق واکنش الکترواستاتیکی به غشای باکتری متصل و یا از طریق واکنش با آمین و گروه‌های کربوکسیل لایه پپتیدوگلیکان دیواره باکتری‌ها، باعث اختلال در آن و باعث نابودی دیواره‌های سلولی می‌شود و باکتری را به‌طور کامل نابود می‌کند (۱۹،۲۰).

مطالعاتی بر روی خواص آنتی‌باکتریال نانوذرات اکسیدقلع صورت گرفته است که طبق این تحقیقات نانوذرات اکسیدقلع سنتز شده به روش‌های شیمیایی خواص آنتی‌باکتریالی خوبی از خود نشان می‌دهند (۲۱). روش‌های شیمیایی متفاوتی برای

با توجه به رشد روزافزون بیماری سرطان در سال‌های اخیر که باعث افزایش مرگ‌ومیر شده است تمرکز دانشمندان بر روی روش‌های برای بهبود درمان سرطان و کمتر آسیب رسیدن به بافت‌های سالم و همچنین مقرون به‌صرفه بودن درمان آن دارند. با توجه به روش‌های درمانی سرطان که وجود دارد روش فوتودینامیک‌تراپی یک روش کارآمد و کم‌هزینه و سمیت کمی برای بدن دارد و دارو به سرعت از بدن خارج می‌شود (۱-۳).

فوتودینامیک‌تراپی یک روش درمانی غیر مخرب می‌باشد که برای از بین بردن سلول‌های سرطانی با استفاده از تابش نور فوتوسنتتیسایزرها برای تولید گونه‌های فعال اکسیژن می‌باشد (۴،۵). تأثیر فوتودینامیک‌تراپی (PDT) توسط بهره‌وری از آشکارسازی اکسیژن یگانه مشخص می‌شود. عوامل ایجاد اکسیژن یگانه به ماده حساس به نور، طول موج نورتابشی و شدت نورتابشی بستگی دارد (۶،۷). فوتودینامیک‌تراپی که بیش از سه دهه به‌صورت کاربردی از آن استفاده شده است؛ که فقط برای درمان تومورهای سطحی به کار می‌رود. با استفاده از فناوری نانو می‌توان این مشکل در فوتودینامیک‌تراپی را بهبود داد. از این رو هدف قرار دادن سلول‌های سرطانی و به حداقل رساندن عوارض جانبی در سلول‌های طبیعی یک پیش‌نیاز برای درمان سرطان است و استفاده از نورهای با طول موج نزدیک به مادون قرمز می‌تواند بیشتر در بافت نفوذ کند و حساس‌گر نوری را به خوبی فعال کند (۸،۹). می‌توان از نانوذرات به‌عنوان حامل‌هایی برای حساس‌گر نوری یا به‌عنوان حساس‌گر نوری استفاده کرد (۱۰،۱۱). روش فوتودینامیک‌تراپی دارای محدودیت‌هایی از جمله فقدان نفوذ به داخل بافت‌های پوستی می‌باشد که برای کم کردن این محدودیت از نانوذراتی با میرایی بالا استفاده می‌شود (۱۲).

برای فعال‌سازی و ایجاد اکسیژن یگانه باید طول موج ساطع شده نانوذرات توسط فوتوسنتتیسایزر جذب شود و ماده حساس به نور ماده‌ای است که یک ترکیب پایدار، غیرسمی در غیاب نور و آب‌دوست باشد و به‌سرعت از بدن خارج شود (۱۳). برای ساخت نانوذرات از روش شیمی سبز استفاده گردید. تولید محصولات با استفاده از روش‌های جدید با اهداف سه‌گانه محیط‌زیست پایدار، اقتصاد پایدار و جامعه پایدار انجام می‌شود. در این راستا عصاره

برای تعیین اندازه نانوذرات و بررسی ریزساختارها میکروسکوپ الکترون عبوری (TEM) مدل زایس EM900 و میکروسکوپ الکترون روبشی (SEM) مدل Mira 3-XMU TESCAN-SEM مورد استفاده قرار گرفتند. جهت بررسی گروه‌های عاملی از طیف‌سنجی مادون‌قرمز تبدیل فوریه (FTIR) مدل MagnaIR550 استفاده گردید. با استفاده از طیف‌سنج فوتولومینسانس مدل PerkinElmer LS55 و قوس زنون به‌عنوان منبع تحریک در دمای اتاق برای بررسی خواص نوری نانوذرات انجام شد. برای پرتودهی نانوذرات از لامپ‌های UVC و برای بررسی طیف جذب و آشکارسازی اکسیژن یگانه و رادیکال هیدروکسیل از دستگاه اسپکترومتر مینیاتوری ساخت شرکت پوشش تدبیر کرانه (فیزتک) مدل UVS-2500 استفاده گردید.

### روش آزمایش

برای سنتز سبز نانوذرات اکسید قلع در حضور عصاره گیاهی هلیپه، ابتدا یک میلی‌لیتر از عصاره را در ۳۰ میلی‌لیتر آب دو بار تقطیر اضافه شد. سپس کلراید قلع دو آبه را در ۵۰ میلی‌لیتر آب دو بار تقطیر حل گردید سپس بعد از ۳۰ دقیقه محلول عصاره را به محلول قلع اضافه گردید و رسوبی به‌دست آمد. که با استفاده از سانتریفیوژ رسوب جدا گردید و با آب و اتانول شستشو داده شد. رسوب به‌دست‌آمده به مدت ۲۴ ساعت درون آون خشک گردید سپس رسوب خشک‌شده برای مدت‌زمانی درون کوره گذاشته شد تا مواد اضافی از آن خارج شود.

### ۳. نتایج و بحث

#### الگوی تفرق اشعه ایکس<sup>۱</sup> (XRD)

به‌منظور آنالیز فازی و بررسی اندازه تقریبی بلورک‌ها از پراش پرتو X استفاده گردید. نتایج نشان‌دهنده حاکی از آن است که سنتز سبز نانوذرات اکسید قلع دارای اندازه ۱۰ نانومتر است. همچنین الگوی پراش پرتو X این نانوذرات با شماره کارت ۰۰-۰۲۱-۱۲۵۰ مطابقت دارد و نانوذرات دارای ساختار تتراگونال می‌باشد و دیگر هیچ فاز اضافی در ساختار وجود ندارد که با مقالات دیگر مطابقت دارد (۲۷).

ساخت این نانوذرات گزارش شده است از جمله روش هم‌رسوبی میکروامولسیون، سل - ژل و هیدروترمال (۲۲).

در سنتز سبز نانوذرات از یک گیاه دارویی استفاده می‌شود که گیاهان دارویی از یک حالت بیولوژیک برخوردار می‌باشند بنابراین در بدن انباشته‌نشده و اثرات جانبی به بار نمی‌آورد و از این رو برتری قابل ملاحظه‌ای نسبت به داروهای شیمیایی دارند. گیاه مورد استفاده در سنتز نانوذرات اکسید قلع، گیاه هلیپه با نام علمی Teucrium Poliumi می‌باشد از این گیاه برای درمان عفونت‌ها استفاده می‌شود. این گیاه از ترکیبات شیمیایی متفاوتی ساخته شده است که در ۴۰ سال گذشته مطالعات زیادی بر روی این گیاه صورت گرفته است در گیاه هلیپه ترکیبات زیادی شناسایی شده است که مهم‌ترین آنها ترپنوئیدها و فلاونوئیدها هستند. این ترکیبات ضدسرطان، ضد باکتری ضدقارچ و پایین‌آورنده چربی خون هستند (۲۶-۲۳).

نانوذرات SnO<sub>2</sub> می‌توان به‌عنوان یک نیمه هادی خوب برای انجام کارهای بیولوژیکی استفاده کرد که دارای میرایی بالایی می‌باشد. حتی این نانوذرات را می‌توان از بیرون تحریک کرد و به سمت سلول‌های سرطانی فرستاد تا عملکرد فوتودینامیک‌تراپی را بهبود بخشند. مشخص شد نانوذرات بعد از برانگیختگی توسط منبع نور UVC به مدت‌زمان ۶۰ دقیقه میرایی دارد. به منظور ارزیابی توانایی نانوذرات SnO<sub>2</sub> برای تولید گونه‌های اکسیژن فعال، طیف جذب و انتشار دو آشکارساز (آنتراسن و متیلن‌بلو) مورد بررسی قرار می‌گیرد. علاوه بر این، نانوذرات حتی می‌توانند از بیرون تحریک‌شده و به سلول‌های سرطانی ارسال شوند تا درمان فوتودینامیک را بهبود بخشند. این مطالعه شواهدی در مورد استفاده مفید از نانوذرات SnO<sub>2</sub> برای خواص ضد سرطانی ارائه می‌دهد.

### ۲. بخش تجربی

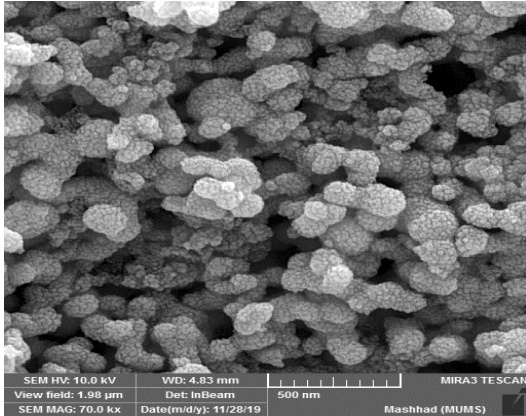
#### مواد و تجهیزات

نانوذرات SnO<sub>2</sub> با استفاده از روش هم‌رسوبی سنتز گردید. در این راستا از دی‌هیدرات کلرید قلع [SnCl<sub>2</sub>.2H<sub>2</sub>O] از شرکت مرک تهیه و بدون تصفیه بیشتر استفاده می‌گردد.

برای انجام ساختارشناسی و بررسی شرایط فازی، از دستگاه تفرق اشعه ایکس (XRD) مدل Philips x'pert pro MPP و با استفاده از پرتونگاری CuKα فیلتر شده با نیکل اندازه‌گیری شدند.

<sup>1</sup> X-Ray Diffraction Pattern

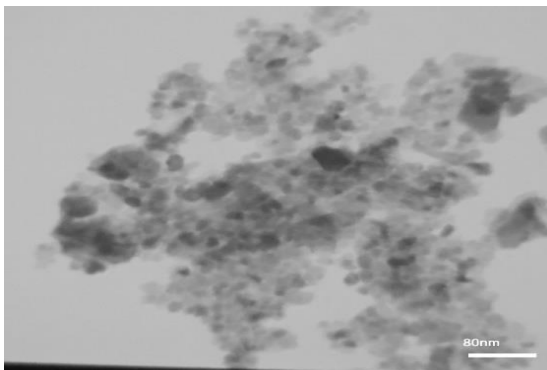
است این آنالیز حضور عناصر قلع و اکسیژن را در نمونه ساخته شده تأیید می‌کند؛ و این‌که هیچ‌گونه ناخالصی در این ماده وجود ندارد.



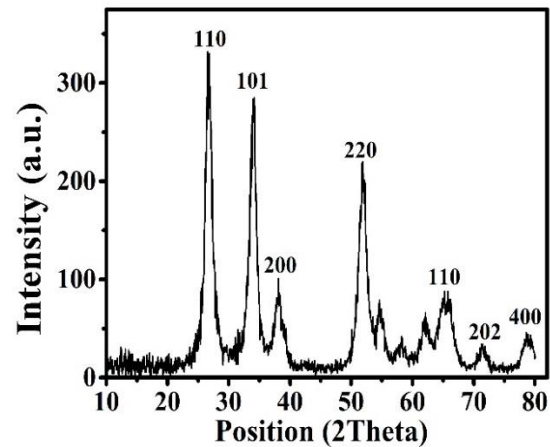
شکل ۲: تصویر SEM سنتز سبز نانوذرات دی‌اکسید قلع ساخته شده به روش هم‌رسوبی.

### تصویر میکروسکوپ الکترونی عبوری<sup>۳</sup>

هرچند تصویر SEM تهیه شده از نانوذرات نشان‌دهنده تشکیل ذرات در مقیاس نانو است، ولی به دلیل تائید سنتز سبز نانوذرات و تخمین اندازه ذرات ساخته شده علاوه بر آنالیز فوق، از نمونه‌ها آنالیز میکروسکوپ الکترون عبوری (TEM) نیز به عمل آمد. شکل (۳) تصویر TEM نانوذرات مقیاس ۸۰ نانومتر نشان می‌دهد. اندازه نانوذرات به دست آمده بر طبق این تصویر کمتر از ۲۰ نانومتر این نتیجه در توافق با نتایج آنالیزها SEM و با آنالیز XRD کمی متفاوت است زیرا در XRD اندازه بلورک‌ها می‌دهد ولی در TEM اندازه دانه‌ها در نظر گرفته می‌شود.



شکل ۳: تصویر TEM سنتز سبز نانوذرات ساخته شده دی‌اکسید قلع به روش هم‌رسوبی.



شکل ۱: طیف XRD سنتز سبز نانوذرات دی‌اکسید قلع ساخته شده به روش هم‌رسوبی.

همچنین اندازه‌ای تقریبی بلورک‌ها با استفاده رابطه شرر (رابطه (۱)) وابستگی اندازه ذرات به گستردگی و پهن شدن خطوط پراش را به خوبی نشان می‌دهد (۲۸).

$$D_{hkl} = \frac{k\lambda}{\beta \cos\theta} \quad (1)$$

در این رابطه  $D$  اندازه تقریبی بلورک‌ها،  $\lambda$  طول موج پرتو  $X$  تابشی،  $\beta$  پهنای نصف بیشینه<sup>۱</sup> (FWHM) مربوط به قله‌های اصلی برای دسته صفحات  $hkl$  و  $\theta$  زاویه است. بر این اساس اندازه بلورک‌های اکسید قلع کمتر از ۱۰ نانومتر به دست آمده آمد. طیف پراش پرتو  $X$  را برای نمونه‌ای اکسیدقلع کلسینه شده در دمای ۴۵۰ درجه سانتی‌گراد نشان می‌دهد مطابق با این طیف بیشینه شدتی در زاویه ۲۶/۷۲ موجود که مربوط به دسته صفحات می‌باشد.

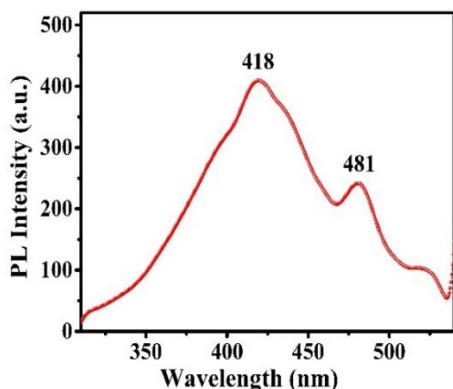
### تصویر میکروسکوپ الکترونی روبشی<sup>۲</sup> (SEM)

میکروسکوپ الکترون روبشی با مقیاس ۲۰۰ nm نمونه را با استفاده از پرتوهای الکترونی روبش می‌کند. در شکل (۲) تصویر SEM نانوذرات سنتز شده به روش سبز اکسیدقلع نشان داده می‌شود. همان‌گونه که ملاحظه می‌شود ریخت‌شناسی و توزیع این نانوذرات کاملاً یکنواخت و اندازه ذرات تشکیل شده بسیار کوچک است و تقریباً اندازه ۱۶ نانومتر دارند. تصویر آنالیز انرژی پراش اشعه  $X$ ، نانوذرات دی‌اکسیدقلع در شکل (۴) نمایش داده شده

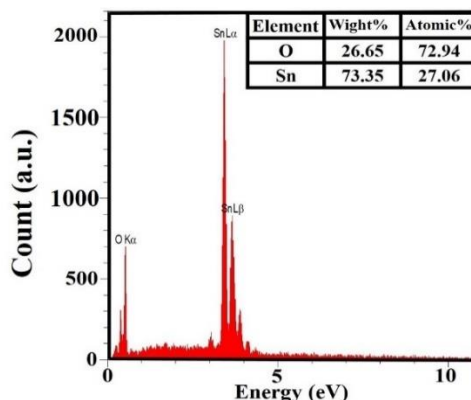
<sup>۱</sup> Full width at half maximum

<sup>۲</sup> Scanning Electron Microscope

<sup>۳</sup> Transmission electron microscope



شکل ۵: طیف فوتولومینسانس (PL) سنتز سبز نانوذرات دی‌اکسید قلع که در طول موج ۲۸۰ نانومتر تحریک شده‌اند.



شکل ۴: طیف EDX سنتز سبز نانوذرات دی‌اکسید قلع ساخته‌شده به روش هم‌رسوبی.

### طیف جذب مرئی-فرابنفش<sup>۲</sup> (UV-vis)

طیف جذب نانوذرات در شکل (۶) نشان داده شده است. با توجه به شکل جذب اپتیکی در ناحیه ۲۷۲ نانومتر و لبه جذب در ۲۴۶ نانومتر می‌باشد. میزان جذب اپتیکی نمونه‌ها با کاهش اندازه ذرات افزایش می‌یابد. رابطه‌ای مستقیمی بین نقص‌ها از جمله جاهای خالی اکسیژن و فاصله انرژی وجود دارد می‌توان گفت هرچه تعداد نقص‌ها بیشتر باشد به دلیل سطوح انرژی جدید در فاصله ممنوعه، شکاف انرژی کاهش می‌یابد بر این اساس جذب در ناحیه فرابنفش از نوع جذب الکترونی است که موجب گاف نوار انرژی در ۴/۹ الکترون‌ولت در ماده می‌شود. برای نیمه هادی‌ها و نانوذرات اثر محدودیت کوانتومی برقرار می‌باشد و هنگامی که سایز ذرات کاهش پیدا می‌کند طیف جذب به سمت طول موج‌های کوتاه‌تر و انرژی بالاتر سوق پیدا می‌کند؛ بنابراین یک پیک جذب لبه‌ای وجود خواهد داشت (۳۱).

برای محاسبه گاف نوار انرژی در شکل (۶) نشان می‌دهد که طول موج قله در ۲۷۲ و لبه جذب در ۲۴۶ نانومتر می‌باشد. جذب در ناحیه فرابنفش به دلیل حضور نواقص سطحی می‌باشد. گاف نوار انرژی با استفاده از معادله تائوک محاسبه می‌شود:

$$(\alpha h\nu) = B(h\nu - E_g)^2 \quad (2)$$

در این رابطه  $\alpha$  ضریب جذب،  $B$  ثابت جذب،  $h\nu$  انرژی تحریک،  $E_g$  گاف انرژی اپتیکی  $n$  برای گذار مستقیم ۱ و برای

### طیف فوتولومینسانس<sup>۱</sup> (PL)

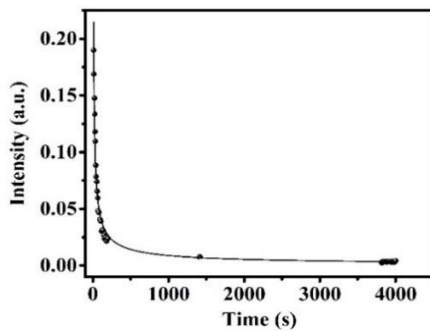
متداول‌ترین روش برای مطالعه خواص فیزیکی و شیمیایی سطوح جامد کدر روش فوتولومینسانس (PL) می‌باشد. پدیده فوتولومینسانس، انتشار نور از مواد را مورد بررسی قرار می‌دهد که بر اساس برانگیختگی اپتیکی ایجاد شده‌اند (۲۹). یک نیمه‌هادی به دلیل اندازه ذرات کوچک خود خواص فوتولومینسانس نوری و الکتریکی ویژه‌ای از خود نشان می‌دهند آنالیز فوتولومینسانس نانوذرات سنتز شده به روش سنتز سبز با برانگیختگی در طول موج ۲۸۰ نانومتر در شکل (۵) نشان داده شده است مطابق این آنالیز طیف نشری نانوذرات SnO<sub>2</sub> در ۴۱۸ و ۴۸۱ نانومتر ظاهر شده است؛ که این پیک به دلیل کمبود اکسیژن و نقص در نانوذرات نسبت داده شده است طیف نشری فوتولومینسانس (PL) نانوذرات در قله نشری با طول موج نشر شده در ناحیه ۴۱۸ نانومتر دارای انرژی ۲/۹۶ الکترون‌ولت می‌باشد که این مقدار از میزان گاف انرژی کمتر است پس قله نشری نمی‌تواند به بازترکیب مستقیم الکترون و حفره مربوط باشد. و با مقالات مطابقت دارد (۳۰).

<sup>2</sup> UltraViolet-Visible

<sup>1</sup> Photoluminescence

### میرایی نانوذرات

به منظور بررسی خواص فسفرسانس نانوذرات دی اکسید قلع ساخته شده ۱۵ دقیقه با استفاده از پرتو فرابنفش پرتو دهی شد سپس میرایی آن ثبت شد نانوذرات می تواند بعد از پرتو دهی نورتابی داشته باشد. به منظور استفاده از نانوذرات دی اکسید قلع در درمان سرطان های عمیق به روش فوتودینامیک تراپی و بر طرف کردن محدودیت نفوذ نور طیف میرایی نانوذرات مورد بررسی قرار گرفت بعد از مدت زمانی که خاصیت فسفرسانس به حالت پایه و ثابت رسید. طولانی شدن مدت فسفرسانس با توجه به انتقال انرژی درون ماده می باشد. نمودار بدون تغییر باقی می ماند و این امکان پذیر می سازد که نانوذرات با پرتو UVC تحریک شود و سپس به قسمت تومور تزریق شود.

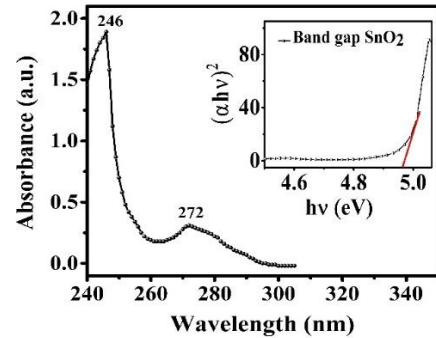


شکل ۸: طیف میرایی سنتز سبز نانوذرات دی اکسید قلع ساخته شده به روش هم رسوبی

### آشکارسازی اکسیژن یگانه

آشکارسازی و تولید اکسیژن یگانه در فوتودینامیک تراپی تراپی از اهمیت بالایی برخوردار است که درمان فوتودینامیک تراپی تراپی متکی به اکسیژن یگانه، ماده حساس به نور و منبع تابش نور می باشد. ماده آنتراسن که یک آشکارساز فلورسانس می باشد که در اثر تبدیلات داخلی تبدیل به آنتراکینون می شود در واقع کاهش شدت آنتراسن نشان دهنده تولید اکسیژن یگانه می باشد. نانوذرات سنتز شده به روش سبز منبع مناسبی برای تولید اکسیژن یگانه است؛ و می تواند به عنوان یک واحد اثربخشی فوتودینامیک تراپی باشد اثر آشکارساز، منبع تابش و نانوذرات در تولید اکسیژن یگانه در شکل (۱۰) نشان داده شده است. با توجه به شکل قبل از پرتو دهی هیچ کاهش نداشتی ولی بعد از پرتو دهی به مدت ۶۰ دقیقه کاهش قابل توجهی داشته است. از نورها با طول موج های

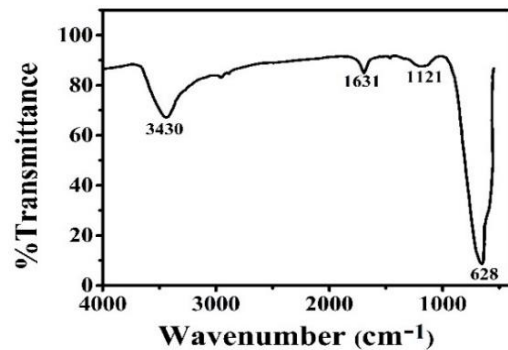
گذار غیر مستقیم ۴ می باشد. شکاف انرژی در حدود ۴/۹ الکترون ولت برای نانوذرات اکسید قلع به دست آمد.



شکل ۶: طیف جذب و گاف نوار انرژی سنتز سبز نانوذرات دی اکسید قلع به روش هم رسوبی.

### طیف جذبی مادون قرمز<sup>۱</sup> (FTIR)

گروه های عاملی را می توان به عنوان مراکز نورتابی در سطح نانوذرات دانست؛ که برای تعیین ساختار و اندازه گیری گونه های شیمیایی بکار می رود. برای تأیید تشکیل نانوذرات به روش سنتز سبز از نمونه طیف تبدیل فوریه مادون قرمز گرفته شده است. شکل (۷) طیف FTIR نمونه اکسید قلع است. همان گونه که در شکل مشاهده می شود در نزدیکی  $1121 \text{ cm}^{-1}$  جذب دیده می شود که نشان دهنده تشکیل پیوندهای Sn-O می باشد قله های موجود در  $1400 \text{ cm}^{-1}$  و  $1631 \text{ cm}^{-1}$  به ترتیب نشان دهنده تشکیل پیوندهای H-O-H و O-H می باشد. باند پهن و گسترده ای در  $484$  و  $672$  که مربوط به پیوند O-Sn-O که باعث تأیید حضور  $\text{SnO}_2$  در فاز کریستالی می باشد. قله پهنی در  $3430$  متعلق به گروه هیدروکسیل O-H است و مشابهت خوبی با مقالات دارد (۳۲).



شکل ۷: طیف FTIR سنتز سبز نانوذرات دی اکسید قلع ساخته شده به روش هم رسوبی

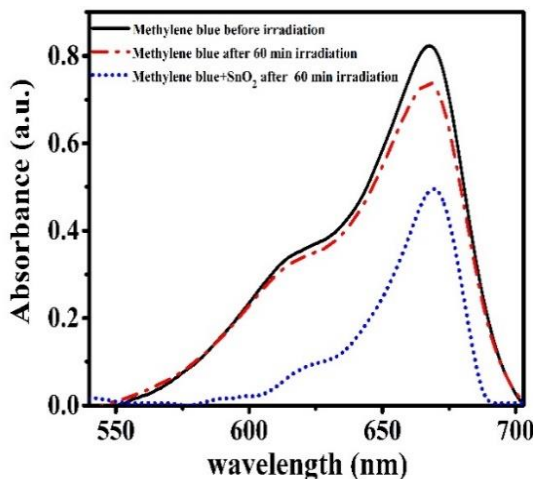
<sup>1</sup> Fourier Transform Infrared Spectroscopy

### معادله ۱: تخریب آنتراسن توسط نانوذرات اکسیدقلع

#### آشکارسازی متیلن بلو

یکی دیگر از گونه‌های سمی تولیدشده توسط نانوذرات می‌توان به رادیکال هیدروکسیل اشاره کرد برای شناسایی این رادیکال و بررسی تولید آن از معرف متیلن بلو استفاده شده است در این مرحله در حضور و عدم حضور نانوذرات بعد و قبل از پرتودهی با منبع نور UVC مورد بررسی قرار گرفت. تخریب ساختار متیلن بلو و تبدیل آن به آب و دی‌اکسیدکربن بعد از پرتودهی بیانگر تولید این رادیکال است که موجب کاهش و افت طیف بعد از پرتودهی متیلن بلو می‌شود.

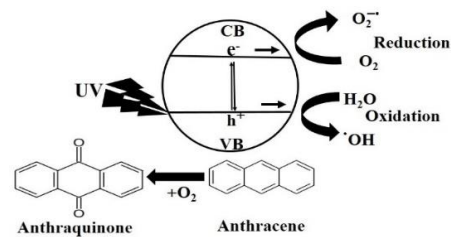
نانومواد نیمه‌هادی در اثر گرفتن انرژی منجر به تحریک الکترون‌ها می‌شود و الکترون از نوار ظرفیت به نوار هدایت می‌رود و تولید الکترون حفره می‌کند. حفره در باند ظرفیت با مولکول‌های آب و یون هیدروکسید واکنش می‌دهد و تبدیل به یون هیدروکسیل می‌کند؛ و الکترون‌ها با مولکول‌های اکسیژن واکنش و تولید رادیکال سوپراکسید می‌کند این رادیکال‌های آزاد اکسیننده‌های قوی هستند که می‌توانند به رنگ‌های آلی حمله کرده و به  $H_2O$  و  $CO_2$  تبدیل کند (۳۶، ۳۷).



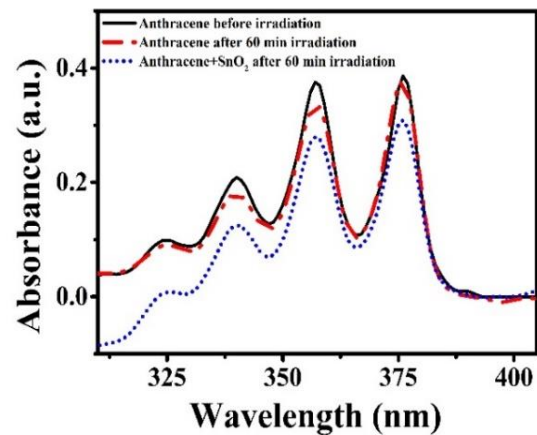
شکل ۱۱: آشکارسازی رادیکال هیدروکسیل با استفاده از آشکارساز متیلن بلو

مختلف برای پرتودهی و آشکارسازی استفاده می‌شود که در این پژوهش از منبع UVC استفاده شده است.

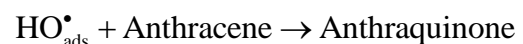
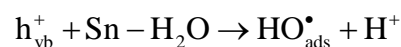
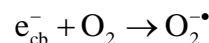
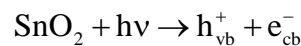
در تابش نور به نانوذرات  $SnO_2$  در باند ظرفیت باعث ایجاد حفره می‌شود و در نوار هدایت باعث ایجاد الکترون می‌کند؛ که فعل و انفعالات جذب سطحی، الکترون‌های نوار هدایت با اکسیژن باعث ایجاد یون رادیکال سوپراکسید می‌کند و در آخر در اثر واکنش حفره‌های باند ظرفیت با آب و ذرات قلع باعث ایجاد رادیکال هیدروکسیل می‌کند و رادیکال‌های ایجادشده مولکول‌های آنتراسن را هدف قرار داده و آن را تبدیل به آنتراکینون می‌کند. شکل (۹) فرآیند انجام واکنش و معادله (۱) انجام فرآیند را به خوبی نشان می‌دهد (۳۳-۳۵).



شکل ۱۲: مکانیسم تخریب آنتراسن در اثر تابش نور یووی.



شکل ۱۰: آشکارسازی اکسیژن یگانه با استفاده از آشکارساز آنتراسن



#### ۴. نتیجه‌گیری

سنتز سبز نانوذرات دی‌اکسیدقلع با استفاده از گیاه دارویی هلپه به روش هم رسوبی انجام شد. پرتودهی نمونه‌ها برای آشکارسازی اکسایش یگانه (معرف آتراسن) و رادیکال هیدروکسیل (معرف متیلن‌بلو) توسط منبع UVC انجام شد و بازدهی قابل‌ملاحظه‌ای برای استفاده از این نانوذرات در درمان سرطان به روش فوتودینامیک‌تراپی در پی داشت. نانوذرات ساخته‌شده به روش سبز با استفاده از آنالیزهای UV-Vis FTIR، PL، XRD، SEM، TEM مورد بررسی و تجزیه تحلیل قرار گرفتند. نتایج میکروسکوپ الکترون عبوری نشان می‌دهد که نانوذرات بسیار همگن که از نظر اندازه با مقدار محاسبه‌شده از نتایج میکروسکوپ الکترون روبشی و پراش اشعه ایکس در توافق است. با توجه به طیف‌های PL این نانوذرات دو قله نشر در طول‌موج‌های ۴۱۸ nm و ۴۸۱ nm دارند. طیف جذب نانوذرات داری قله جذب در ۲۴۲ nm می‌باشد که با استفاده از طیف جذبی باند گپ نانوذرات با انرژی ۴/۹ eV به دست آمد. طیف FTIR نشان‌دهنده تشکیل پیوند Sn و O در نمونه سنتز شده می‌باشد.

## References

- Dou QQ, Teng CP, Ye E, Loh XJ. Effective near-infrared photodynamic therapy assisted by upconversion nanoparticles conjugated with photosensitizers. *IntJNanomedicine*. 2015;10:419-32.
- Lucky SS, Soo KC, Zhang Y. Nanoparticles in photodynamic therapy. *Chemical reviews*. 2015;115(4):1990-2042.
- Zhang Y, Huang F, Ren C, Yang L, Liu J, Cheng Z, et al. Targeted Chemo-Photodynamic Combination Platform Based on the DOX Prodrug Nanoparticles for Enhanced Cancer Therapy. *ACS Applied Materials & Interfaces*. 2017;9(15):13016-28.
- Yan L, Amirshaghghi A, Huang D, Miller J, Stein JM, Busch TM, et al. Protoporphyrin IX (PpIX)-Coated Superparamagnetic Iron Oxide Nanoparticle (SPION) Nanoclusters for Magnetic Resonance Imaging and Photodynamic Therapy. *Advanced Functional Materials*. 2018;28(16):1707030.
- Yin T, Zhang Q, Wu H, Gao G, Shapter JG, Shen Y, et al. In vivo high-efficiency targeted photodynamic therapy of ultra-small Fe<sub>3</sub>O<sub>4</sub>@polymer-NPO/PEG-Glc@Ce6 nanoprobe based on small size effect. *NPG Asia Materials*. 2017;9(5):e383-e.
- Shen Y, Shuhendler AJ, Ye D, Xu J-J, Chen H-Y. Two-photon excitation nanoparticles for photodynamic therapy. *Chemical Society Reviews*. 2016;45(24):6725-41.
- Tang W, Zhen Z, Wang M, Wang H, Chuang Y-J, Zhang W, et al. Red Blood Cell-Facilitated Photodynamic Therapy for Cancer Treatment. *Advanced Functional Materials*. 2016;26(11):1757-68.
- Kalka K, Merk H, Mukhtar H. Photodynamic therapy in dermatology. *Journal of the American Academy of Dermatology*. 2000;42(3):389-413.
- Zhang H, Wang T, Liu H, Ren F, Qiu W, Sun Q, et al. Second near-infrared photodynamic therapy and chemotherapy of orthotopic malignant glioblastoma with ultra-small Cu<sub>2-x</sub>Se nanoparticles. *Nanoscale*. 2019;11(16):7600-8.
- Ackroyd R, Kelty C, Brown N, Reed M. The history of photodetection and photodynamic therapy. *Photochemistry and photobiology*. 2001;74(5):656-69.
- Li WT. Nanoparticles for photodynamic therapy. *Handbook of biophotonics*. 2013:321-36.
- Zahedifar M, Sadeghi E, Shanei MM, Sazgarnia A, Mehrabi M. Afterglow properties of CaF<sub>2</sub>:Tm nanoparticles and its potential application in photodynamic therapy. *Journal of Luminescence*. 2016;171:254-8.
- Bechet D, Couleaud P, Frochet C, Viriot M-L, Guillemain F, Barberi-Heyob M. Nanoparticles as vehicles for delivery of photodynamic therapy agents. *Trends in Biotechnology*. 2008;26(11):612-21.
- Tahir K, Nazir S, Ahmad A, Li B, Ali Shah SA, Khan AU, et al. Biodirected synthesis of palladium nanoparticles using Phoenix dactylifera leaves extract and their size dependent biomedical and catalytic applications. *RSC Advances*. 2016;6(89):85903-16.
- Tavakkoli F, Zahedifar M, Sadeghi E. Effect of LaF<sub>3</sub>:Ag fluorescent nanoparticles on photodynamic efficiency and cytotoxicity of Protoporphyrin IX photosensitizer. *Photodiagnosis and Photodynamic Therapy*. 2018;21:306-11.
- Kang Z, Yan X, Zhao L, Liao Q, Zhao K, Du H, et al. Gold nanoparticle/ZnO nanorod hybrids for enhanced reactive oxygen species generation and photodynamic therapy. *Nano Research*. 2015;8(6):2004-14.
- Song L, Li PP, Yang W, Lin XH, Liang H, Chen XF, et al. Low-dose X-ray activation of W (VI)-doped persistent luminescence nanoparticles for deep-tissue photodynamic therapy. *Advanced Functional Materials*. 2018;28(18):1707496.
- Sadeghi E, Mahmoodian Z, Zahedifar M. Synthesis of Nanoparticles of ZnS: Ag-L-cysteine-protoporphyrin IX Conjugates and Investigation its Potential of Reactive Oxygen Species Production. *Journal of fluorescence*. 2019;29(5):1089-101.
- Whitesides GM. Nanoscience, Nanotechnology, and Chemistry. *Small*. 2005;1(2):172-9.
- Bogdanović U, Lazić V, Vodnik V, Budimir M, Marković Z, Dimitrijević S. Copper nanoparticles with high antimicrobial activity. *Materials Letters*. 2014;128:75-8.
- Vidhu VK, Philip D. Biogenic synthesis of SnO<sub>2</sub> nanoparticles: Evaluation of antibacterial and antioxidant activities. *Spectrochimica Acta Part A: Molecular and Biomolecular Spectroscopy*. 2015;134:372-9.
- Sivakumar S, Manikandan E. Enhanced structural, optical, electrochemical and magnetic behavior on

- manganese doped tin oxide nanoparticles via chemical precipitation method. *Journal of Materials Science: Materials in Electronics*. 2019;30(8):7606-17.
23. Rasekh HR, Khoshnood-Mansourkhani MJ, Kamalinejad M. Hypolipidemic effects of Teucrium polium in rats. *Fitoterapia*. 2001;72(8):937-9.
24. Kabouche A, Kabouche Z, Ghannadi A, Sajjadi S. Analysis of the essential oil of Teucrium polium ssp. aurasiacum from Algeria. *Journal of essential oil Research*. 2007;19(1):44-6.
25. Kandouz M, Alachkar A, Zhang L, Dekhil H, Chehna F, Yasmeen A, et al. Teucrium polium plant extract inhibits cell invasion and motility of human prostate cancer cells via the restoration of the E-cadherin/catenin complex. *Journal of Ethnopharmacology*. 2010;129(3):410-5.
26. El-Shazly AM, Hussein KT. Chemical analysis and biological activities of the essential oil of Teucrium leuocladum Boiss. (Lamiaceae). *Biochemical Systematics and Ecology*. 2004;32(7):665-74.
27. Geng J, Ma C, Zhang D, Ning X. Facile and fast synthesis of SnO<sub>2</sub> quantum dots for high performance solid-state asymmetric supercapacitor. *Journal of Alloys and Compounds*. 2020;825:153850.
28. Jones F, editor *The measurement of particle size by the X-ray method*. Proceedings of the Royal Society of London A: Mathematical, Physical and Engineering Sciences; 1938: The Royal Society.
29. Deye JR, Walters KA. Photoluminescence and Electroluminescence, Solid State. *Encyclopedia of Inorganic and Bioinorganic Chemistry*. 2007.
30. Mishra RK, Kushwaha A, Sahay PP. Influence of Cu doping on the structural, photoluminescence and formaldehyde sensing properties of SnO<sub>2</sub> nanoparticles. *RSC Adv*. 2014;4(8):3904-12.
31. Das S, Kar S, Chaudhuri S. Optical properties of SnO<sub>2</sub> nanoparticles and nanorods synthesized by solvothermal process. *Journal of Applied Physics*. 2006;99(11):114303.
32. Ahmed A, Siddique MN, Ali T, Tripathi P. Defect assisted improved room temperature ferromagnetism in Ce doped SnO<sub>2</sub> nanoparticles. *Applied Surface Science*. 2019;483:463-71.
33. Bakalova R, Ohba H, Zhelev Z, Ishikawa M, Baba Y. Quantum dots as photosensitizers? *Nature biotechnology*. 2004;22(11):1360-1.
34. Buytaert E, Dewaele M, Agostinis P. Molecular effectors of multiple cell death pathways initiated by photodynamic therapy. *Biochimica et Biophysica Acta (BBA) - Reviews on Cancer*. 2007;1776(1):86-107.
35. Theurich J, Bahnemann DW, Vogel R, Ehamed FE, Alhakimi G, Rajab I. Photocatalytic degradation of naphthalene and anthracene: GC-MS analysis of the degradation pathway. *Research on Chemical Intermediates*. 1997;23(3):247-74.
36. Trandafilović LV, Jovanović DJ, Zhang X, Ptasnińska S, Dramićanin MD. Enhanced photocatalytic degradation of methylene blue and methyl orange by ZnO:Eu nanoparticles. *Applied Catalysis B: Environmental*. 2017;203:740-52.
37. Yang Y, Xu L, Wang H, Wang W, Zhang L. TiO<sub>2</sub>/graphene porous composite and its photocatalytic degradation of methylene blue. *Materials & Design*. 2016;108:632-9.